

行政院國家科學委員會專題研究計畫 成果報告

探討淡水生綠藻萃出物於延緩光照射皮膚老化的應用及生物分子原理

研究成果報告(精簡版)

計畫類別：個別型

計畫編號：NSC 97-2320-B-041-004-

執行期間：97年08月01日至98年07月31日

執行單位：嘉南藥理科技大學藥學系

計畫主持人：施美份

共同主持人：程中玉、沈家瑞、陳莉螢

計畫參與人員：此計畫無其他參與人員

處理方式：本計畫可公開查詢

中華民國 98年10月16日

研究計畫之背景及目的：

日照紫外線的暴露引起的皮膚細胞的傷害，進而影響到皮膚的緊縮性及彈性，並且誘發皮膚提前老化現象：包括有皮膚粗糙、皺紋、斑點、皮膚鬆弛、及色澤暗沉等，這些皮膚變化也常被認知為光照老化現象（photoaging）。正常的皮膚是靠細胞外基質（extracellular matrix）生合成及分解的平衡維持，而 Matrix metalloproteinases（MMPs）則在維護細胞外基質（extracellular matrix）的重塑（remodeling）上扮演著重要角色，其中含量最豐富的一種蛋白質為 type I 膠原蛋白（type I collagens），其功能與維護皮膚強度及彈性有關。type I 膠原蛋白主要是由纖維母細胞（fibroblast）所製造，首先會先形成可溶性的前趨膠原蛋白（procollagen），被釋放後再經適度分解則形成不溶性的膠原蛋白纖維。膠原蛋白的生命週期預估約有一年之久（Verzijl *et al.*, 2000），因光照所引起任何造成膠原蛋白排列雜亂、片段化、或成束沉積現象都是一種皮膚老化現象（Fisher *et al.*, 1996; 1997; Talwar *et al.*, 1995）。

皮膚及眼睛是人類唯一暴露到日光紫外線的部位。紫外線的波長可分四段：UVC (<290nm), UVB (290-320nm), UVA2 (320-340nm), and UVA1 (340-400nm)。其中 UVB 所引起的皮膚機能的傷害主要是皮膚老化及癌症，UVA2 的穿透能力較 UVA1 強，因此也是引起皮膚老化的主要波長之一。紫外線引起的皮膚變化已知是一種氧化性傷害藉由活化細胞內的 protein kinase C (PKC) 的活性，PKC 的活性增加的結果便促進 Interstitial collagenase (如 MMP-1) 生合及造成膠原蛋白的分解（Berneburg *et al.*, 1999）。MMPs 分解含 type I 及 III 膠原蛋白的細胞外纖維。而 MMP-3 (stromelysin-1) 則是負責分解糖蛋白 proteoglycans、fibronectin 和 type III 膠原（Giambardini *et al.*, 1998; Kuroda & Shinkai 1997）。組織中可以與 MMPs 的活性相抗衡的物質則是 tissue inhibitor of metalloproteinase (TIMP)。因此任何的因素會造成 MMPs 的活性增加或 TIMPs 的活性不足皆會引起皮膚的

變化，如失去彈性、皺紋的產生（Talwar *et al.*, 1995）。

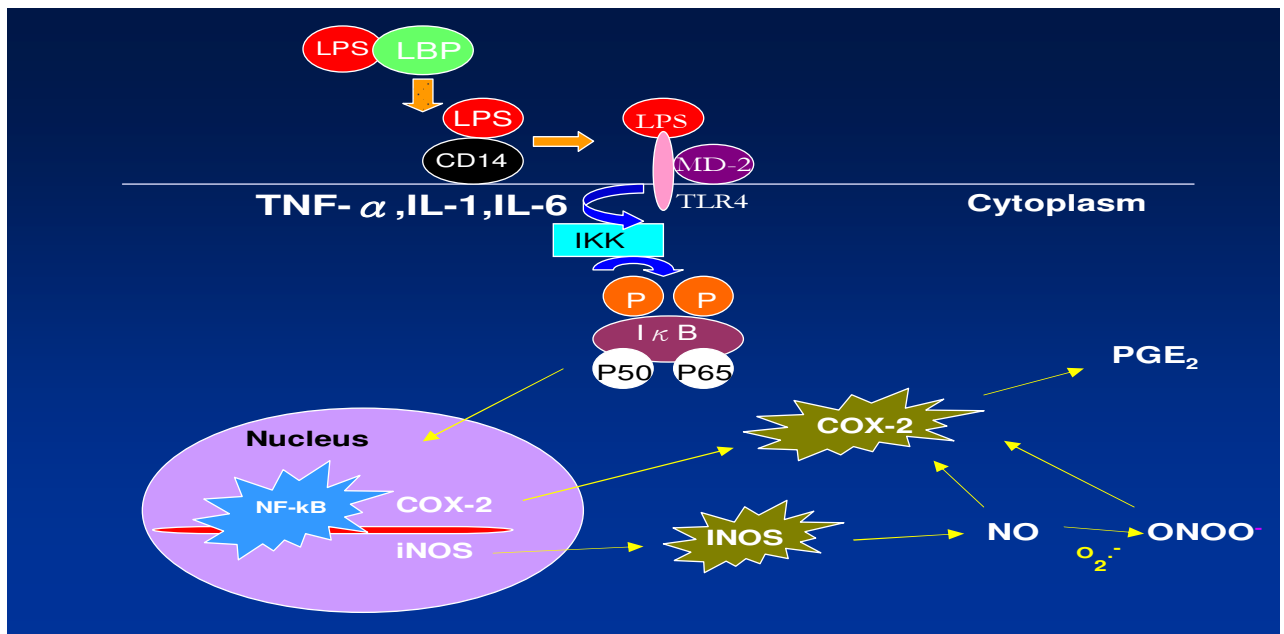
皮膚老化的特色包括皺紋及長期紫外線照射所引起的日曬雀斑，後者也常被認知為光照老化現象（photoaging）。許多研究證實光照輻射（UV irradiation）所引起的皮膚老化現象與細胞外基質（extracellular matrix），如膠原蛋白（collagen）、彈性蛋白（elastin）、proteoglycans 的組成改變或是水解有關（Fisher *et al*, 1997; Krutmann, 2001; Varani *et al*, 2001）。這些改變進而被認為與刺激訊息傳遞路徑（signal transduction pathways）進而活化轉錄因子（transcription factor）及標的基因（target gene）（Fisher *et al*, 1998）。UV 照射活化 MAP kinase 訊息路徑接著誘發化轉錄因子 AP1，然後引發 MMP 水解酵素的基因表現並進行製造這些水解酵素，接著出現分解細胞外基質（extracellular matrix）的結果（Fisher *et al.*, 1996; 2000）。

許多研究證實光照輻射（UV irradiation）所引起的皮膚老化現象與細胞外基質（extracellular matrix），如膠原蛋白（collagen）、彈性蛋白（elastin）、proteoglycans 的組成改變或是水解有關（Fisher *et al*, 1997; Krutmann, 2001; Varani *et al*, 2001）。這些改變進而被認為與刺激訊息傳遞路徑（signal transduction pathways）進而活化轉錄因子（transcription factor）及標的基因（target gene）有關（Fisher *et al*, 1998）。UV 照射活化 MAP kinase 訊息路徑接著誘發化轉錄因子 AP1，然後引發 MMP 水解酵素的基因表現並大量進行製造這些水解酵素，接著出現分解細胞外基質（extracellular matrix）的結果（Fisher *et al.*, 1996; 2000）。UVA 誘導的肌膚老化過程藉由增加 MMP1 水解細胞外基質（extracellular matrix）的 collagen 已知與 PCK、MAP kinase、AP1 轉錄因子（transcription factors）路徑有關（Watanabe *et al.*, 2004）。路徑中又以 migration inhibitory factor (MIF) 及 transforming growth factor- β (TGF- β) 所參與的角色與皮膚纖維母細胞經 UVA 照射後所增加的 MMP 的相關性最為密切（Watanabe *et al.*, 2004；Yin *et al.*, 2003）。TGF- β 是一種無處

不存在的多功能性細胞激素（cytokine），兼具調節細胞增生和分化、組織重塑（tissue remodeling）及組織修護等功能（Massague, 1998）。TGF- β 先與 TGF- β type II receptor（TbRII）結合然後與 TbRI 形成複合體，接著磷酸化轉錄因子 Smad2 和 Smad3 然後再與 Smad4 結合並轉移進入細胞核內促進標的基因的表現，Type I 膠原蛋白基因表現即是 TGF- β 所調解的其中一種基因（Ghosh *et al.*, 2000; Chen *et al.*, 2000; Akagi *et al.*, 1996; Roberts *et al.*, 1990; Slack *et al.*, 1993）；在缺乏 TbRII 的形況下，TGF- β 是無法與 TbRI 作用（Wrana *et al.*, 1992）。UV 輻射作用下會造成 TbRII 的蛋白質及 mRNA 表現減少（Quan *et al.*, 2001；Gambichler *et al.*, 2007），這些作用是經由降低 Smad3 mRNA 的表現（Kreuter *et al.*, 2006；Gambichler *et al.*, 2007）。雖然添加 TGF- β 1可以增加 TbRII 的量及減少 MMP1 的表現，但是由 UV 輻射作用下增加 TGF- β 1的釋出卻因引起細胞訊息傳遞失調而不具相同作用（Yin *et al.*, 2002）。UVA 實事實上會被證實會增加 TGF- β ，卻也同時會造成細胞內訊號的缺陷，即 TGF- β 與其接受器 TGF- β type II receptor（TbRII）的結合會降低（Mori *et al.*, 1998）。其他研究團隊也得到類似的結果，並且發現到外加的 TGF- β 對於 MMP1 表現的抑制作用是透過 Smad3 及 Smad4 所引導的 AP1 路線（Yuan & Varga, 2004）。此外，TGF- β 1也被發現與 elastin 的表現有關（Gibson *et al.*, 1995）。TGF- β 1type II receptor 被認為是與 Cysteine-rich 61（CYR61）有關，CYR61 是一個與調節膠原蛋白穩定有關的蛋白質分子（Lau & Lam, 1999）。不論是正常老化或是光照射引起的皮膚老化都會有較強的 CYR61 基因表現伴隨著 TGF- β 1 type II receptor 的下降調節現象（down regulation），因為 TGF- β 1 type II receptor 與 TGF- β 1的訊息傳遞有絕對關係，因此也會與 extracellular matrix 的膠原蛋白有關（Quan *et al.*, 2006）。另外皮膚老化與 CYR61 的關係也被認為是與 MAP kinase 路徑活化 AP1 有關（Han *et al.*, 2003; Kunz *et al.*, 2003；Quan *et al.*, 2006），而光照射誘發的老化現象會造成 MAP kinase 路徑活化 AP1 的活化現象（Fisher *et al.*, 1996；1998）。

Macrophage migration inhibitory factor (MIF)原本由淋巴細胞所釋放出的一種 lymphokine 對於巨噬細胞具有強力的活化作用，也被認為與細胞所引發的免疫作用有相關性 (Bloom and Bennett, 1966 ; David, 1966)。皮膚細胞後來也被發現會釋放這種激素 (Shimizu *et al.*, 1966)，且在 UVA 的照射之下會被刺激並由纖維母細胞釋放出來，MIF 可以磷酸化 MAP kinase 進而增加 AP1 與 DNA 的結合現象並增加 MMP1 的增生，此增生現象可以被 MIF 抗體及使用 PKC 抑制劑所阻斷 (Watanabe *et al.*, 2004)。

UVB 輻射線引起皮膚發炎及可能的癌化現象與下列兩種酵素的調節有關： ornithine decarboxylase (ODC) 及 cyclooxygenase (COX) (Auvinen *et al.*, 1992; Herschman *et al.*; 1995)。不論是體內或體外試驗都證實 UVB 照射會增加 ODC 的產生 (Rosen, *et al.*, 1990)；在小老鼠以 TNF α 刺激之下，ODC 的活性是經由 COX 而產生 (Verma *et al.*, 1977 ; Yamamoto *et al.*, 1992)，然而在人體則不件相同之作用 (Arnold *et al.*, 1992)。Soriani 等人 (1999) 以不同劑量的 UVB 照射人類角質細胞及皮膚纖維母細胞之後，也只發現 COX-2 的基因表現增加，ODC 的基因表現則維持不變。COX 分解花生四烯酸 (arachidonic acid) 為前列腺素 (prostaglandins, PGs)，其中 PGE2 曾被證實在纖維母細胞上可以誘導多種 MMP 的表現 (Pentland *et al.*, 1995; Wahl and Lampel, 1987; Mauviel *et al.*, 1994)。除此之外，PGE2 也是一種已知的膠原蛋白合成的抑制物質 (Varga *et al.*, 1987 ; Clark *et al.*, 1982)。因此，PGE2 被認為是在皮膚老化過程中誘導 MMPs 活性及促進基質蛋白質分解上扮演某種重要角色。另外，使用選擇性 COX2 抑制劑(如 NS-398) 則可以有效抑制 COX2、PGE2 及 MMP1 的蛋白質表現 (Han *et al.*, 2004)。COX mRNA 的表現是經由 transcription factor NF κ B 所控制，其活性又受到 I κ B 的磷酸化作用調控。這條路徑的示意圖如下：



UV 輻射線作用在哺乳動物細胞株時具有活化 NF κ B 及其所調節之基因 (Bender *et al.*, 1997; Herrlich *et al.*, 1997)。此外，MAPKs 及 NF κ B 路徑參與了 IL-1 β 對 MMP1 表現的調節 (Fan *et al.*, 2006)。皮膚纖維母細胞在 UVA 或是 UVB 輻射線作用下會經由 NF κ B 調節 IL-6 基因進而大量釋放 IL-6，經證實 IL-6 會引發 MMP1 的表現 (Kock *et al.*, 1990；Wlaschek *et al.*, 1994；Kondo *et al.*, 1997; Scharffetter-Kochanek *et al.*, 1997；Brenneisen *et al.*, 1999；Wenk *et al.*, 2004)。除此之外，IL-6 及其他的細胞素 (如 IL-8、TNF α) 或是生長因子 (CSF、PDGF) 都是受到 IL-1 α 的調節進而影響到纖維母細胞生產細胞外基質 (extracellular matrix) 的作用，並間接影響到皮膚的正常功能 (Elisa & Lentz, 1990；Shroder *et al.*, 1990；Last-Barney *et al.*, 1988；Zucali *et al.*, 1986；Raines *et al.*, 1989)。有趣的是：UV 輻射線引起的肌膚傷害是透過 IL-1 α 的 autocrine/paracrine 方式去活化 NF κ B (Bender *et al.*, 1998)。Monocyte chemoattractant protein-1 (MCP-1) 雖然是白血球活化時所釋放的一種與發炎有關的細胞激素，MCP-1 亦被證實在適當的刺激之下會由皮膚纖維母細胞所釋放 (Yoshimara *et al.*, 1989)。在大鼠的肺部組織發現 MCP-1 會刺激膠原蛋白的基因表現，這個現象則是間接經由向上調整

(up-regulation) TGF- β 基因表現所致 (Gharaee-Kermaniet al., 1996)。之後，MCP-1 在皮膚纖維母細胞中再次被證實會誘發 IL-1 α 合併增加 MMP1 基因表現，此現象被認為是一種 autocrine loop (Yamamoto *et al.*, 2000)。

此研究計畫將針對本研究室先前所發現：水溶性綠藻萃出物具有抑制 TPA (為 PKC 的活化物質) 及 UVB 誘發 MMP1 的表現的功效 (Shih & Cherng, 2008 ; NSC 91-2626-B-041-001)，作進一步研究水溶性綠藻萃出物抑制 MMP 的細胞分子路徑，並將此有效的水溶性綠藻萃出成分應用於化妝品上，當作可以減輕因紫外線引起的光傷害的產品。計畫將探討水溶性綠藻萃出物是否對於 transforming growth factor- β (TGF- β) 及 migration inhibitory factor (MIF) 有所影響，其中又以前者需要謹慎評估，因為由 UVA 所誘導的和額外添加的 TGF- β 對於 MMP1 的影響不相同，因此 TGF- β type II receptor (TbRII) 的 mRNA 表現也須一併加以探討。已知 UVA 會經由 PCK、MAP kinase、AP1 transcription factors (c-Fos & c-Jun) 進而影響 MMP1 及膠原蛋白的表現，因此水溶性綠藻萃出物是否可有效干擾此路徑達到抑制 MMP1 之功效也將一併在此研究中探討。由於 PGE2 已知會經由 NF κ B 路徑透過 COX-2 影響 MMP1 的活性及細胞外基質蛋白質 (extracellular matrix) 的製造，細胞激素 (如 IL-1 、 IL-6 、 TNF α 等) 會作用在細胞膜上接受器影響 NF κ B 活性，因此水溶性綠藻萃出物是否對於 NF κ B 路徑具有相同的影響作用將是另一個階段的探討目標。

研究方法

1. TGF- β 的量可以使用 ELISA kits 去測得。

2.1 TbRII mRNA 217bp (RT-PCR) see ref: TRbII primer for PCR condition

2.1.1 Sense primer: 5' TCA TGG CAA ACT GTC TCT AGT GTT A3'

2.1.2 Antisense primer: 5'CGG TTA ATA ACG ACA TGA TAG TCA C3'

2.2 B-actin mRNA 295 bp

2.2.1 Senese Primer : 5' TCA CCC ACA CTG TGC CCA TCT A3'

2.2.2 Antisense primer: 5'CAG CGG AAC CGC TCA TTG CCA A3'

2.2.3

3. CYR61 mRNA

3.1 Senese Primer: 5' TCA AAG ACC TGT GGA ACT GGT ATC-3'

3.2 Antisense primer: 5'-CAC AAA TCC GGG TTT CTT TCA-3'

4.1 c-Fos 的 mRNA (332bp) 的表現—RT-PCR

Sense primer: 5'-GGA GAA TCC GAA GGA AAG G-3'

Antisense primer: 5'-5'GCT TGG GCT CAG GGT CAT TG-3'

4.2 c-Jun 的 mRNA (196bp) 的表現—RT-PCR

Sense primer: 5'-GGA TCA AGG CGG AGA GGA AG-3'

Antisense primer: 5'-GCG TTA GCA TGA GTT GGA AC-3'

PCR conditions are 30 cycles of 94°C for 50 seconds , 55°C for 50 seconds and 72°C for 90 seconds followed by a 7-mintue extension at 72°C.

5. MCP-1 濃度表現—可以使用 ELISA kits 去測得。

結果與討論：

TGF-β是一種無處不存在的多功能性細胞激素 (cytokine)，兼具調節細胞增生和分化、組織重塑 (tissue remodeling) 及組織修護等功能 (Massague,1998)。三種不同的UV波長對於TGF-β的影響似乎無法自單一層次的纖維母細胞探討出來，但是 TGF-β是作用在 TbRII receptors，所以當細胞暴露到這些不同的UV波後，其 RNA 的表現，只有 UVB 具有抑制作用，而水綠的作用之下則可以改善因 UVB 作用而減少的 TbRII RNA 表現。因為 TGF-β與 TGF-β type II receptor

(TbRII)結合後經由一連串的作用即可以調節 Type I 膠原蛋白基因表現 (Ghosh *et al.*, 2000; Chen *et al.*, 2000; Akagi *et al.*, 1996; Roberts *et al.*, 1990; Slack *et al.*, 1993) 及 elastin 的表現有關 (Gibson *et al.*, 1995)。

Cysteine-rich 61 (CYR61) 是一個與調節膠原蛋白穩定有關的蛋白質分子 (Lau & Lam., 1999)。不論是正常老化或是光照射引起的皮膚老化都會有較強的 CYR61 基因表現伴隨著 TGF- β 1 type II receptor 的下降調節現象 (down regulation)，實驗結果亦證實三種 UV 波都具有向上調節 CYR61 基因的作用，但是 UVA 的調節作用比其他 2 種 UV 波較弱。水綠的作用之下可以將過度表現的 CYR61 基因抑制。配合上述作用，水綠在抗 UV 引的老化現象可能是因為此其中一個機轉達到功效。

Monocyte chemoattractant protein-1 (MCP-1) 雖然是白血球活化時所釋放的一種與發炎有關的細胞激素，MCP-1 亦被證實在適當的刺激之下會由皮膚纖維母細胞所釋放 (Yoshimara *et al.*, 1989)。MCP-1 的產量在 UVA 活 UVB 照這之後的最大產生時間不一樣，然而 IL-6 在 UV 照這的作用下只有 UVB 具有刺激作用，UVA 在實驗測量期間都不具變化。水溶性綠藻（水綠）對於不論是 UVA 或是 UVB 誘導的 MCP-1 都具有抑制作用，但是對於 IL-6 的影響卻是加強，後者的刺激作用似乎是與水綠與調節免疫功效有關，因此結果是符合預期。MCP-1 在皮膚纖維母細胞中曾被證實會誘發 IL-1 α 合併增加 MMP1 基因表現，此現象被認為是一種 autocrine loop (Yamamoto *et al.*, 2000)。因為水綠不具抑制 IL-6 的作用，所以先前本實驗是證實水綠具有抑制 MMP-1 的作用可能只是抑制在對於 MCP-1 影響 MMP-1 的表現上。

圖表：

圖 1. TGF- β

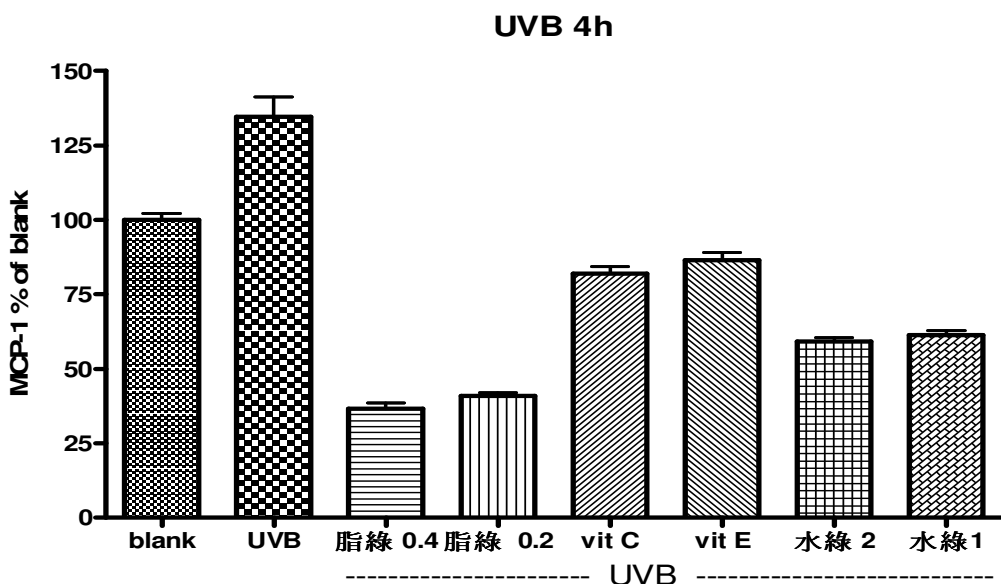
不論是以 UVA，UVB，或 UVC 照射都不具有誘發皮膚纖維母細胞釋放 TGF- β 的作用 (如下表所示)。

圖 2. TNF- α

不論是以 UVA，UVB，或 UVC 照射都不具有誘發皮膚纖維母細胞釋放 TNF- α 的作用（如下表所示 n=3）。

圖 3. MCP-1

以不同的 UV 照射的結果發現 UVB 在照射 4 小時後的 MCP-1 釋放量與未照射的組別有最大差距，因此選擇此照射後時間當作標準收集樣品時間。當皮膚纖維母細胞加有脂溶性綠藻（脂綠）0.4 或 0.2mg/ml 的劑量時，UVB 照射後 4 小時後的 MCP-1 的釋放量就明顯大幅減少，雖然細胞若是加有維生素 E 或 C 也可以明顯抑制 MCP-1 的釋放但是其抑制結果顯然不如脂綠的效果。此外水溶性綠藻 (cgf) 在之前的計畫中針對 MMP 活性與 RNA 的表現都有抑制作用，因此 cgf 也在此被測試其功效，結果發現 cgf (1 mg/ml 或是 2 mg/ml) 對 MCP-1 的抑制功效仍是比維生素 E 或 C 較佳（結果見下圖 n=6）。



以不同的 UV 照射的結果發現 UVA 在照射 8 小時後的 MCP-1 釋放量與未照射的組別有最大差距，因此選擇此照射後時間當作標準收集樣品時間。由此並且發現不同波長對 MCP-1 的釋放刺激作用是不同的。

當皮膚纖維母細胞加有脂溶性綠藻（脂綠）0.4 或 0.2mg/ml 的劑量時，UVA 照射 8 小時後的 MCP-1 的釋放量就明顯大幅減少，雖然細胞若是加有維生素 E 或 C 也可以明顯抑制 MCP-1 的釋放但是其抑制結果顯然不如脂綠的效果。此外水溶性綠藻 (cgf) 在之前的計畫中針對 MMP 活性與 RNA 的表現都有抑制作用，因此 cgf 也在此被測試其功效，結果發現 cgf 1 mg/ml 對 MCP-1 的抑制功效與維生素 E 或 C 的作用在抑制 UVA 對 MPC-1 的刺激作用則效果較相當，而 cgf 2 mg/ml 對 MCP-1 的抑制功效則較維生素 E 或 C 的作用要強些（結果見下圖 n=6）。

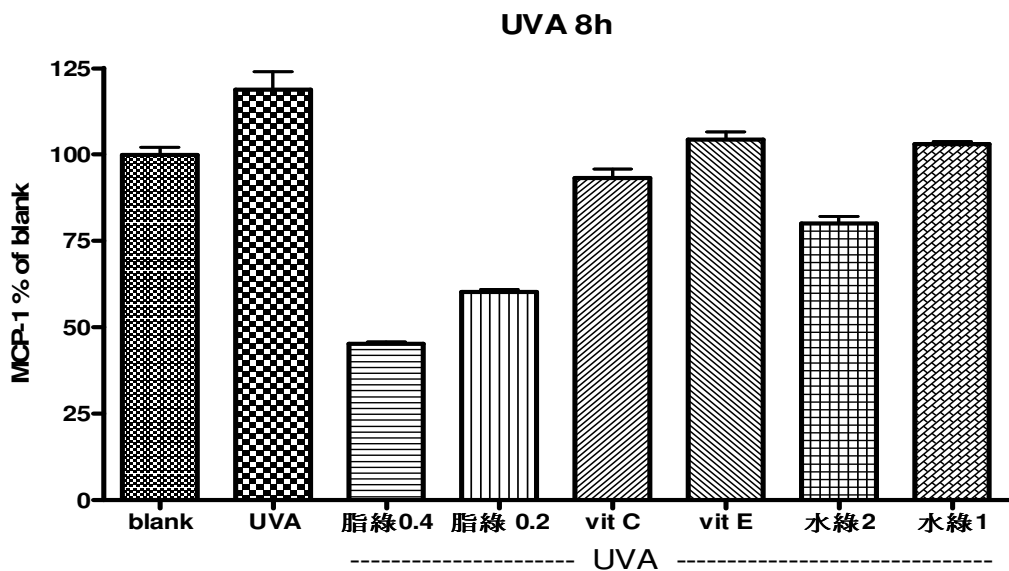
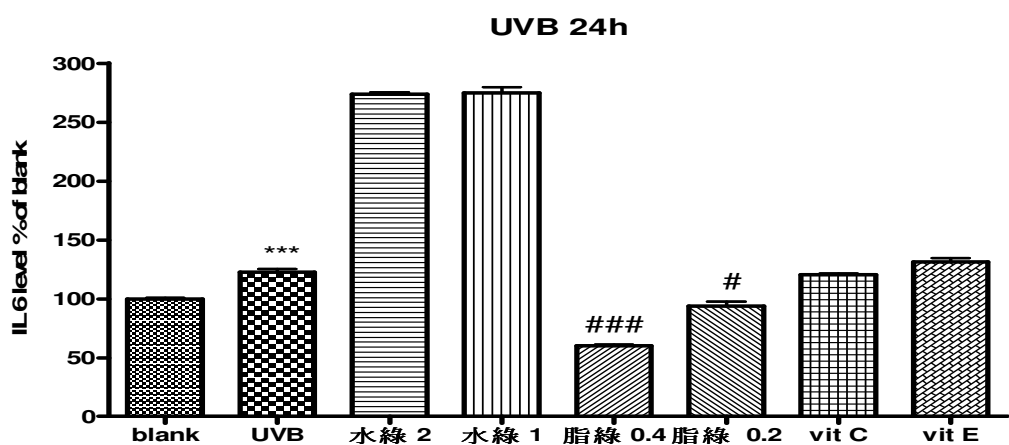


圖 4. IL-6

紫外線波長 UVA 及 UVB 對皮膚纖維母細胞釋放 IL-6 的時間關係如下圖所示。UVA 對 IL-6 的作用幾乎與沒有照射的細胞所釋放的 IL-6 的量一樣，因此 UVA 並無繼續再進行對 IL-6 的試驗。然而 UVB 則在照射後的 12 小時有明顯增加 IL-6 的釋放量且維持到 24 小時。此後 IL-6 實驗均選擇照射後 24 小時後收集。當皮膚纖維母細胞加有脂溶性綠藻（脂綠）0.4 或 0.2mg/ml 的劑量時，UVB 照射後 24 小時的 IL-6 的釋放量就明顯減少，然而細胞若是加有維生素 E 或 C 則抑制 IL-6 的釋放便不明顯。此外水溶性綠藻（水綠）對 IL-6 則有刺激作用（結果見下圖）。



mRNA data

皮膚纖維母細胞以 UVA 或 UVB 照射後 24 小時收集細胞抽去全部 RNA 再以 PCR 轉成 DNA 並進行下列實驗。

figure of gel density

圖 5. TbRII RNA

紫外線 UVB 對 TbR II mRNA 有稍微明顯的抑制作用，較高劑量的水綠 (cgf) 才有減少抑制作用，脂綠 (lipo) 和維生素 C 都不具拮抗 UVB 抑制 TbR II mRNA 的功效。

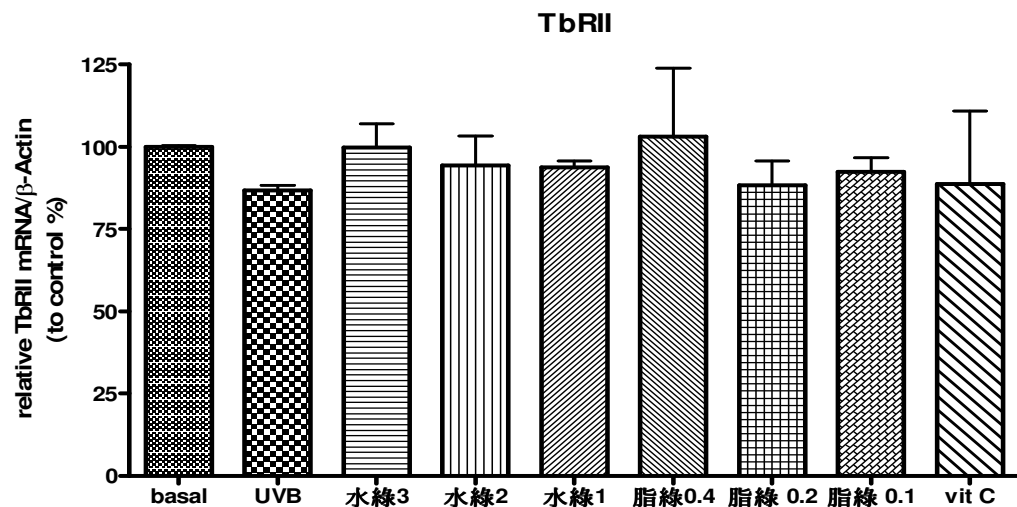
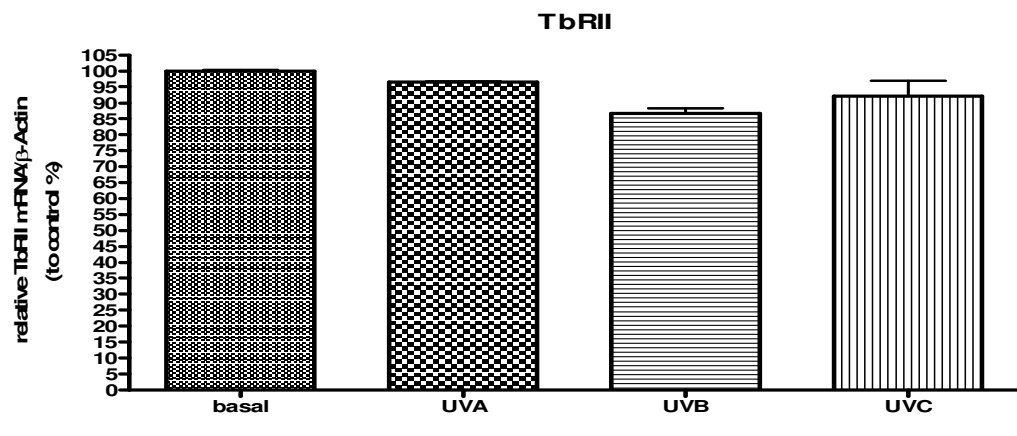
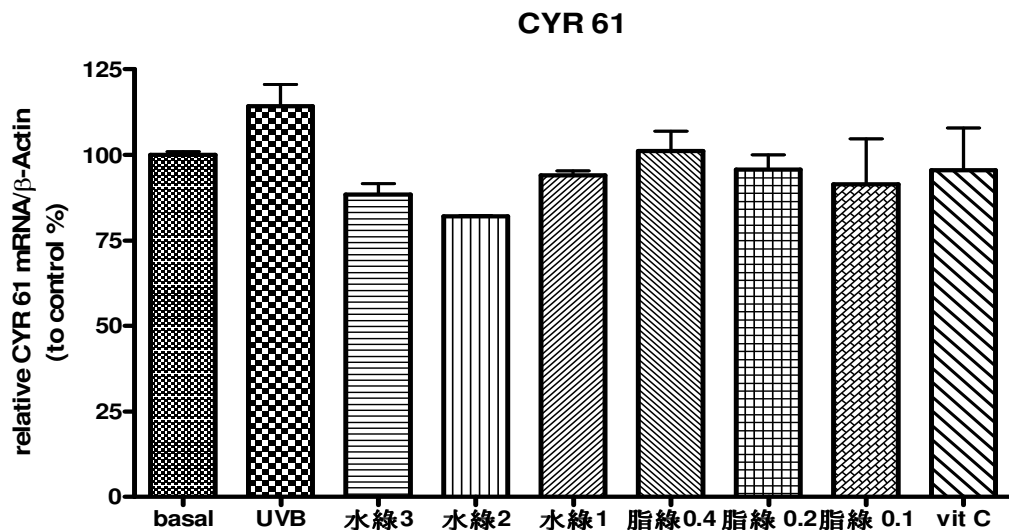


圖 6. CYR61 mRNA

不論是 UVA、UVB 或是 UVC 對 CYR61 mRNA 都有刺激作用，但是 UVB 及 UVC 的刺激作用較強。水綠 (cgf)、脂綠 (lipo)、及維生素 C 都有減少 CYR61 mRNA 的功效，但以水綠的作用最為明顯。



轉錄因子的表現：

圖 7. c-FOS mRNA

轉錄因子 AP-1 是 c-Fos 和 c-Jun 的組合，UVC 對 c-Fos 的作用與對 c-Jun 的作用是相反的。而水綠 (cgf)、脂綠 (lipo)、及維生素 C 似乎也是集中作用在 c-Fos 而非 c-Jun。若與 CYR61 mRNA 比較起，似乎 CYR61 mRNA 的表現是受的 c-Fos mRNA 的影響而非 c-Jun。

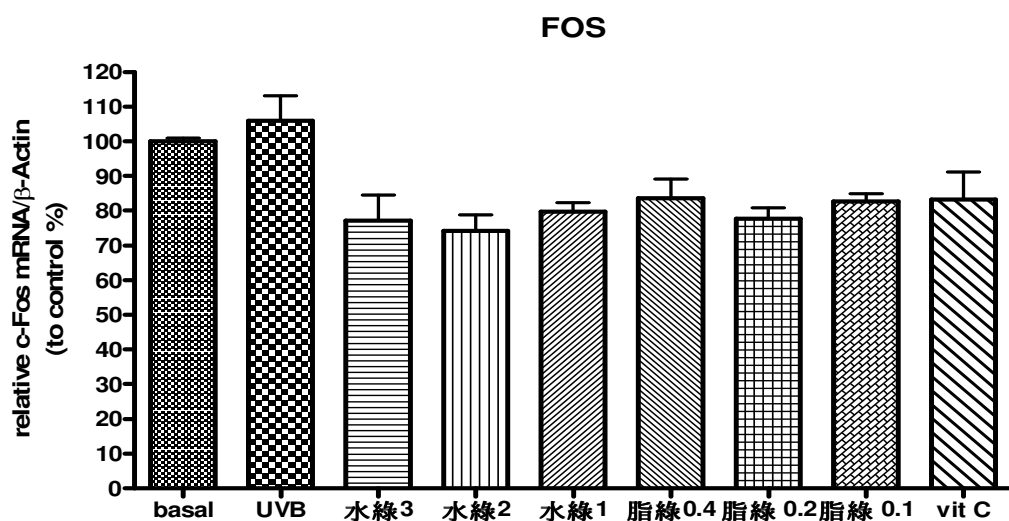
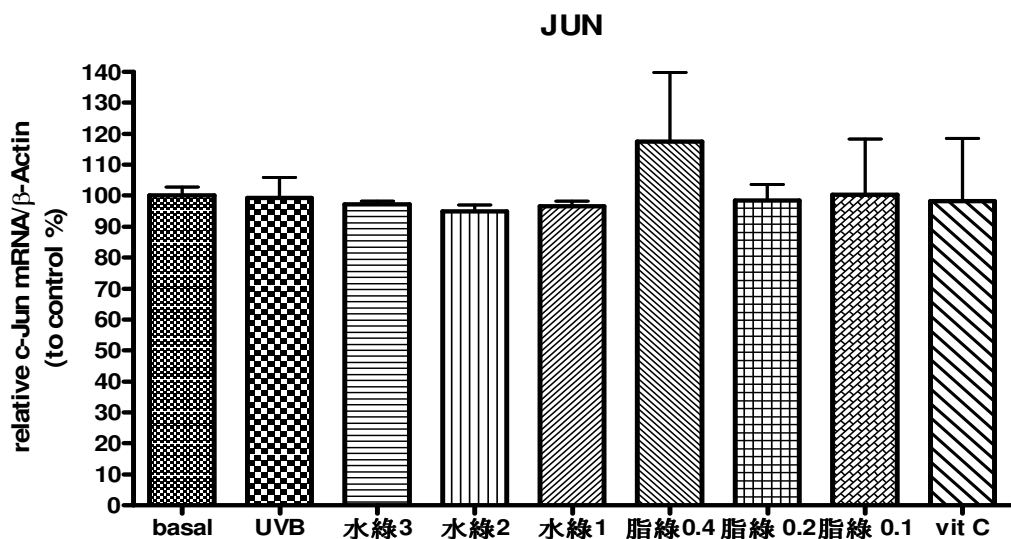


圖 8. c-Jun



參考文獻

- Akagi Y, Isaka Y, Arai M, Kaneko T, Takenaka M, Moriyama T, Kaneda Y, Ando A, Orita Y, Kamada T, Ueda N, Imai E: Inhibition of TGF- β 1 expression by antisense oligonucleotides suppressed extracellular matrix accumulation in experimental glomerulonephritis. *Kidney Int* 1996, 50:148–155
- Berneburg M, Grether-Beck S, Kurten V, Ruzicka T, Briviba K, Sies H, Krutmann J (1999) Singlet oxygen mediates the UVA-induced generation of the photoaging-associated mitochondrial common deletion. *J. Biol. Chem.* 274:15345–15349
- Bloom, B. R., and Bennett, B. (1966) *Science* 153, 80–82
- Chen S-J, Yuan W, Lo S, Trojanowska M, Varga J: Interaction of Smad3 with a proximal Smad-binding element of the human 12(I) procollagen gene promoter required for transcriptional activation of TGF- β . *J Cell Physiology* 2000, 183:381–392
- David, J. R. (1966) *Proc. Natl. Acad. Sci. U. S. A.* 56, 72–77
- Elisa JA and Lentz V (1990) IL-1 and TNF synergistically stimulate fibroblast IL-6 production and stabilize IL-6 messenger RNA. *J. Immunol.* 145: 161-166
- Fisher GJ, Datta SC, Talwar HS, Wang ZQ, Varani J, Kang S, Voorhees JJ: Molecular basis of sun-induced premature skin ageing and retinoid antagonism. *Nature* 1996, 379:335–339
- Fisher GJ, Wang ZQ, Datta SC, Varani J, Kang S, Voorhees JJ: Pathophysiology of premature skin aging induced by ultraviolet light. *N Engl J M ed* 337:1419-1428,

1997

- Fisher GJ, Voorhees JJ: Molecular mechanisms of photoaging and its prevention by retinoic acid: Ultraviolet irradiation induces MAP kinase signal transduction cascades that induce AP-1-regulated matrix metalloproteinases that degrade human skin in vivo. *J Invest Dermatol Symp Proc* 3:61-68, 1998
- Fisher G, Datta S, Wang Z, Li X, Quan T, Chung J, Kang S, Voorhees J: c-Jun dependent inhibition of cutaneous procollagen transcription following ultraviolet irradiation is reversed by all-trans retinoid acid. *J Clin Invest* 2000, 106:661–668
- Ghosh A, Yuan W, Mori Y, Varga J: Smad-dependent stimulation of type I collagen gene expression in human skin fibroblasts by TGF- β involves functional cooperation with p300/CBP transcriptional coactivators. *Oncogene* 2000, 19:3546–3555
- Gambichler T, Skrygan M, Tomi NS, Breukesch S, Altmeyer P, Kreuter A. 2007 Significant downregulation of transforming growth factor-beta signal transducers in human skin following ultraviolet-A1 irradiation. *Br. J. Dermatology* 156: 951-956
- Gharaee-Kermani, M., E. M. Denholm, and S. H. Phan. 1996. Costimulation of fibroblast collagen and transforming growth factor β 1 gene expression by monocyte chemoattractant protein-1 via specific receptors. *J. Biol. Chem.* 271:17779.
- Giambernardi TA, grant GM, Taylor GP, Hay RJ, Maher VM, McCormick JJ, Klebe RJ (1998) Overview of matrix metalloproteinase expression in cultured human cells. *Matrix Biol.* 16:483-496
- Han J-S, Macarak E, Rosenbloom J, Chung K, Chaqour B: 2003 Regulation of Cyr61/CCN1 gene expression through RhoA GTPase and p38MAPK signaling pathways. *Eur J Biochem*, 270:3408–3421
- Kreuter A, Hyun J, Skrygan M, Sommer A, Tomi NS, Breuckmann F, Altmeyer P, Gambichler T. 2006Ultraviolet A1 phototherapy decreases inhibitory SMAD7 gene expression in localized scleroderma. : *Arch Dermatol Res.* 298(6):265-72.
- Krutmann J 2001:The role of UVA rays in skin aging. *Eur J Dermatol* 11:170-171,
- Kunz M, Moeller S, Koczan D, Lorenz P, Wenger R, Glocker M, Thiesen H-J, Gross G, Ibrahim S., 2003: Mechanisms of hypoxic gene regulation of angiogenesis factor Cyr61 in melanoma cells. *J Biol Chem*, 278:45651–45660
- Kuroda K & Shinkai H (1997) Gene expression of type I and III collagen, decorin, matrix metalloproteinases and tissue inhibitor of metalloproteinases in skin fibroblasts from patients with systemic sclerosis. *Arch Dermatol. Res.* 289:567-572

- Lau L & Lam SC-T: 1999 The CCN family of angiogenic regulators: the integrin connection. *Exp Cell Res*, 248:44–57
- Mori Y, Hatamocji A, Arkawa M, Ueki Y. (1998) Reduced expression of mRNA for transforming growth factor b and TGF β receptor I and II and decreased TGF β binding to the receptors in vivo-aged fibroblasts. *Arch Dermatol. Res.* 290: 158-162
- Quan T, HeT, Voorhees JJ, Fisher GJ: Ultraviolet irradiation blocks cellular responses to transforming growth factor-b by down-regulating its type-II receptor and inducing Smad7. *J Biol Chem* 276:26349-26356, 2001
- Quan T, TianYuan He, Yuan Shao, Lin Lin, Sewon Kang, John J. Voorhees, and Gary J. Fisher (2006) Elevated Cysteine-Rich 61 Mediates Aberrant Collagen Homeostasis in Chronologically Aged and Photoaged Human Skin. *Am. J. Pathology*, 169(2) :482-490.
- Raines, E.W., Dower, S.K., and Ross, R. 1989. Interleukin-1 mitogenic activity for fibroblasts and smooth muscle cells is due to PDGF-AA. *Science*. 243:393–396.
- Roberts A, Heine U, Flanders K, Sporn M: Transforming growth factor- β . Major role in regulation of extracellular matrix. *Ann NY Acad Sci* 1990, 580:225–232
- Shih M-F & J-Y Cherng (2007) Potential Protective Component of fresh grown Unicellular Green Algae (Resilient Factor) in PMA- and UVB-induced MMP1 expression and degradation of extracellular protein in human skin fibroblasts. *Eur. J. Dermatol.* 18(3):303-307
- Shimizu, T., Ohkawara, A., Nishihira, J., and Sakamoto, W. (1996) FEBS Lett. 381, 199–202
- Shroder, J.-M., Sticherling, M., Henneicke, H.H., Preissner, W.C., and Christophers, E. 1990. IL-1a or tumor necrosis factor-a stimulate release of three NAP/IL-8-related neutrophil chemotactic proteins in human dermal fibroblasts. *J. Immunol.* 144:2223–2232.
- Slack J, Liska D, Bornstein P: Regulation of expression of the type I collagen genes. *Am J Med Genet* 1993, 45:1940–1951
- Talwar HS, Griffiths CEM, Fisher GJ, Hamilton TA, Voorhees JJ: Reduced type I and type III procollagens in photodamaged adult human skin. *J Invest Dermatol* 1995, 105:285–290
- Verzijl N, DeGroot J, Thorpe S, Bank R, Shaw M, Lyons T, Bijlsma W, Lafeber F, Baynes J, TeKoppele J: Effect of collagen turnover on the accumulation of advanced glycation end products. *J Biol Chem* 2000, 275:39027–39031
- Watanabe, H., Shimizu, T., Nishihira, J., Abe, R., Nakayama, T., Taniguchi, M., Sabe, H., Teruo Ishibashi, T.,and Shimizu, H., 2004. Ultraviolet A-induced Production of Matrix Metalloproteinase-1 Is Mediated by Macrophage Migration Inhibitory

- Factor (MIF) in Human Dermal Fibroblasts. *J. Biol. Chem.* 279: 1676-1683
- Wrana JL, Attisano L, Carcamo J, et al: TGF beta signals through a heteromeric protein kinase receptor complex. *Cell* 71:1003-1014, 1992
- Yamamoto T, Eckes B, Mauch C, Hartmann K, & Krieg T (2000) Monocyte chemoattractant protein-1 enhances gene expression and synthesis of matrix metalloproteinase-1 in human fibroblast by an autocrine IL-1 α loop. *J. Immunol.* 164: 6174-6179
- Yin L, Morita A, Tsuji T., The Crucial Role of TGF- β in the Age-Related Alterations Induced by Ultraviolet A Irradiation. *J. Invest. Dermatol.* 120: 703-705, 2002
- Yoshimura, T., E. A. Robinson, S. Tanaka, S. Appella, and E. J. Leonard. 1989. Purification and amino acid analysis of two human monocyte chemoattractants produced by phytohemagglutinin-stimulated human blood mononuclear leukocytes. *J. Immunol.* 142:1956.